

Starkniederschlagshöhen und -spenden gemäß KOSTRA-DWD-2020

Rasterfeld 132184

(Zeile 132, Spalte 184)

Regenspende und Bemessungsniederschlagswerte in Abhängigkeit von Wiederkehrzeit T und Dauerstufe D

| Dauerstufe D | | Wiederkehrzeit T | | | | | | | | | | | | | | | | | |
|--------------|-----|------------------|------------|------|------------|------|------------|------|------------|------|------------|-------|------------|-------|------------|-------|------------|-------|------------|
| | | 1 a | | 2 a | | 3 a | | 5 a | | 10 a | | 20 a | | 30 a | | 50 a | | 100 a | |
| min | Std | mm | l / (s ha) | mm | l / (s ha) | mm | l / (s ha) | mm | l / (s ha) | mm | l / (s ha) | mm | l / (s ha) | mm | l / (s ha) | mm | l / (s ha) | mm | l / (s ha) |
| 5 | | 7,4 | 246,7 | 9,4 | 313,3 | 10,6 | 353,3 | 12,2 | 406,7 | 14,5 | 483,3 | 16,8 | 560,0 | 18,4 | 613,3 | 20,4 | 680,0 | 23,3 | 776,7 |
| 10 | | 9,7 | 161,7 | 12,3 | 205,0 | 13,9 | 231,7 | 16,0 | 266,7 | 19,0 | 316,7 | 22,1 | 368,3 | 24,1 | 401,7 | 26,8 | 446,7 | 30,6 | 510,0 |
| 15 | | 11,1 | 123,3 | 14,0 | 155,6 | 15,8 | 175,6 | 18,2 | 202,2 | 21,7 | 241,1 | 25,2 | 280,0 | 27,5 | 305,6 | 30,6 | 340,0 | 34,9 | 387,8 |
| 20 | | 12,1 | 100,8 | 15,3 | 127,5 | 17,2 | 143,3 | 19,8 | 165,0 | 23,6 | 196,7 | 27,4 | 228,3 | 30,0 | 250,0 | 33,3 | 277,5 | 38,0 | 316,7 |
| 30 | | 13,5 | 75,0 | 17,0 | 94,4 | 19,3 | 107,2 | 22,2 | 123,3 | 26,3 | 146,1 | 30,6 | 170,0 | 33,5 | 186,1 | 37,2 | 206,7 | 42,5 | 236,1 |
| 45 | | 14,9 | 55,2 | 18,9 | 70,0 | 21,3 | 78,9 | 24,5 | 90,7 | 29,2 | 108,1 | 33,9 | 125,6 | 37,1 | 137,4 | 41,2 | 152,6 | 47,0 | 174,1 |
| 60 | 1 | 16,0 | 44,4 | 20,2 | 56,1 | 22,8 | 63,3 | 26,3 | 73,1 | 31,2 | 86,7 | 36,4 | 101,1 | 39,7 | 110,3 | 44,1 | 122,5 | 50,4 | 140,0 |
| 90 | 1,5 | 17,6 | 32,6 | 22,2 | 41,1 | 25,1 | 46,5 | 28,9 | 53,5 | 34,3 | 63,5 | 39,9 | 73,9 | 43,6 | 80,7 | 48,4 | 89,6 | 55,3 | 102,4 |
| 120 | 2 | 18,7 | 26,0 | 23,7 | 32,9 | 26,8 | 37,2 | 30,8 | 42,8 | 36,6 | 50,8 | 42,6 | 59,2 | 46,5 | 64,6 | 51,6 | 71,7 | 59,0 | 81,9 |
| 180 | 3 | 20,5 | 19,0 | 25,9 | 24,0 | 29,2 | 27,0 | 33,6 | 31,1 | 40,0 | 37,0 | 46,5 | 43,1 | 50,8 | 47,0 | 56,4 | 52,2 | 64,5 | 59,7 |
| 240 | 4 | 21,8 | 15,1 | 27,5 | 19,1 | 31,1 | 21,6 | 35,8 | 24,9 | 42,6 | 29,6 | 49,5 | 34,4 | 54,1 | 37,6 | 60,1 | 41,7 | 68,6 | 47,6 |
| 360 | 6 | 23,8 | 11,0 | 30,0 | 13,9 | 33,9 | 15,7 | 39,1 | 18,1 | 46,4 | 21,5 | 54,0 | 25,0 | 59,0 | 27,3 | 65,5 | 30,3 | 74,9 | 34,7 |
| 540 | 9 | 25,9 | 8,0 | 32,7 | 10,1 | 37,0 | 11,4 | 42,6 | 13,1 | 50,6 | 15,6 | 58,9 | 18,2 | 64,3 | 19,8 | 71,4 | 22,0 | 81,6 | 25,2 |
| 720 | 12 | 27,5 | 6,4 | 34,8 | 8,1 | 39,3 | 9,1 | 45,2 | 10,5 | 53,8 | 12,5 | 62,5 | 14,5 | 68,3 | 15,8 | 75,9 | 17,6 | 86,7 | 20,1 |
| 1080 | 18 | 30,0 | 4,6 | 37,9 | 5,8 | 42,8 | 6,6 | 49,2 | 7,6 | 58,5 | 9,0 | 68,1 | 10,5 | 74,4 | 11,5 | 82,6 | 12,7 | 94,4 | 14,6 |
| 1440 | 24 | 31,8 | 3,7 | 40,2 | 4,7 | 45,4 | 5,3 | 52,3 | 6,1 | 62,2 | 7,2 | 72,3 | 8,4 | 79,0 | 9,1 | 87,7 | 10,2 | 100,2 | 11,6 |
| 2880 | 48 | 36,8 | 2,1 | 46,5 | 2,7 | 52,5 | 3,0 | 60,5 | 3,5 | 71,9 | 4,2 | 83,6 | 4,8 | 91,3 | 5,3 | 101,4 | 5,9 | 115,9 | 6,7 |
| 4320 | 72 | 40,0 | 1,5 | 50,6 | 2,0 | 57,2 | 2,2 | 65,8 | 2,5 | 78,2 | 3,0 | 91,0 | 3,5 | 99,4 | 3,8 | 110,4 | 4,3 | 126,1 | 4,9 |
| 5760 | 96 | 42,5 | 1,2 | 53,7 | 1,6 | 60,7 | 1,8 | 69,9 | 2,0 | 83,0 | 2,4 | 96,6 | 2,8 | 105,5 | 3,1 | 117,2 | 3,4 | 133,9 | 3,9 |
| 7200 | 120 | 44,5 | 1,0 | 56,3 | 1,3 | 63,6 | 1,5 | 73,2 | 1,7 | 87,0 | 2,0 | 101,2 | 2,3 | 110,5 | 2,6 | 122,8 | 2,8 | 140,3 | 3,2 |
| 8640 | 144 | 46,2 | 0,9 | 58,5 | 1,1 | 66,1 | 1,3 | 76,0 | 1,5 | 90,4 | 1,7 | 105,1 | 2,0 | 114,8 | 2,2 | 127,5 | 2,5 | 145,7 | 2,8 |
| 10080 | 168 | 47,7 | 0,8 | 60,4 | 1,0 | 68,2 | 1,1 | 78,5 | 1,3 | 93,3 | 1,5 | 108,6 | 1,8 | 118,6 | 2,0 | 131,7 | 2,2 | 150,5 | 2,5 |

Starkniederschlagshöhen und -spenden gemäß KOSTRA-DWD-2020

Rasterfeld 132184

(Zeile 132, Spalte 184)

Örtliche Unsicherheiten in Abhängigkeit von Wiederkehrzeit T und Dauerstufe D

| Dauerstufe D | | Wiederkehrzeit T | | | | | | | | |
|--------------|-----|------------------|-----|-----|-----|------|------|------|------|-------|
| | | 1 a | 2 a | 3 a | 5 a | 10 a | 20 a | 30 a | 50 a | 100 a |
| min | Std | ± % | ± % | ± % | ± % | ± % | ± % | ± % | ± % | ± % |
| 5 | | 12 | 12 | 12 | 12 | 13 | 13 | 14 | 14 | 14 |
| 10 | | 12 | 14 | 15 | 16 | 17 | 18 | 18 | 19 | 19 |
| 15 | | 14 | 17 | 18 | 19 | 20 | 21 | 21 | 22 | 22 |
| 20 | | 16 | 18 | 19 | 20 | 22 | 23 | 23 | 24 | 24 |
| 30 | | 17 | 20 | 21 | 22 | 23 | 24 | 25 | 25 | 26 |
| 45 | | 18 | 21 | 22 | 23 | 24 | 25 | 26 | 26 | 27 |
| 60 | 1 | 19 | 21 | 22 | 23 | 25 | 26 | 26 | 27 | 27 |
| 90 | 1,5 | 19 | 21 | 22 | 23 | 25 | 26 | 26 | 27 | 27 |
| 120 | 2 | 18 | 21 | 22 | 23 | 24 | 25 | 26 | 26 | 27 |
| 180 | 3 | 18 | 20 | 21 | 22 | 24 | 24 | 25 | 26 | 26 |
| 240 | 4 | 17 | 19 | 21 | 22 | 23 | 24 | 24 | 25 | 25 |
| 360 | 6 | 16 | 19 | 20 | 21 | 22 | 23 | 23 | 24 | 25 |
| 540 | 9 | 16 | 18 | 19 | 20 | 21 | 22 | 22 | 23 | 24 |
| 720 | 12 | 15 | 17 | 18 | 19 | 21 | 21 | 22 | 22 | 23 |
| 1080 | 18 | 15 | 17 | 18 | 19 | 20 | 21 | 21 | 22 | 22 |
| 1440 | 24 | 15 | 16 | 17 | 18 | 19 | 20 | 21 | 21 | 22 |
| 2880 | 48 | 15 | 16 | 17 | 18 | 18 | 19 | 20 | 20 | 21 |
| 4320 | 72 | 15 | 16 | 17 | 17 | 18 | 19 | 19 | 20 | 20 |
| 5760 | 96 | 16 | 16 | 17 | 18 | 18 | 19 | 19 | 20 | 20 |
| 7200 | 120 | 16 | 17 | 17 | 18 | 18 | 19 | 19 | 20 | 20 |
| 8640 | 144 | 17 | 17 | 17 | 18 | 18 | 19 | 19 | 20 | 20 |
| 10080 | 168 | 17 | 17 | 18 | 18 | 19 | 19 | 19 | 20 | 20 |

Parameter für abweichende T und D

Lokationsparameter ξ (Xi)

16,45101832

Skalenparameter α (Alpha)

6,05092919

Formparameter κ (Kappa)

-0,1

1. Koutsoyiannis-Parameter θ (Theta)

0,03547573

2. Koutsoyiannis-Parameter η (Eta)

0,79185546

Parameter für dauerstufenübergreifende Extremwertschätzung nach KOUTSOYIANNIS et al. 1998.

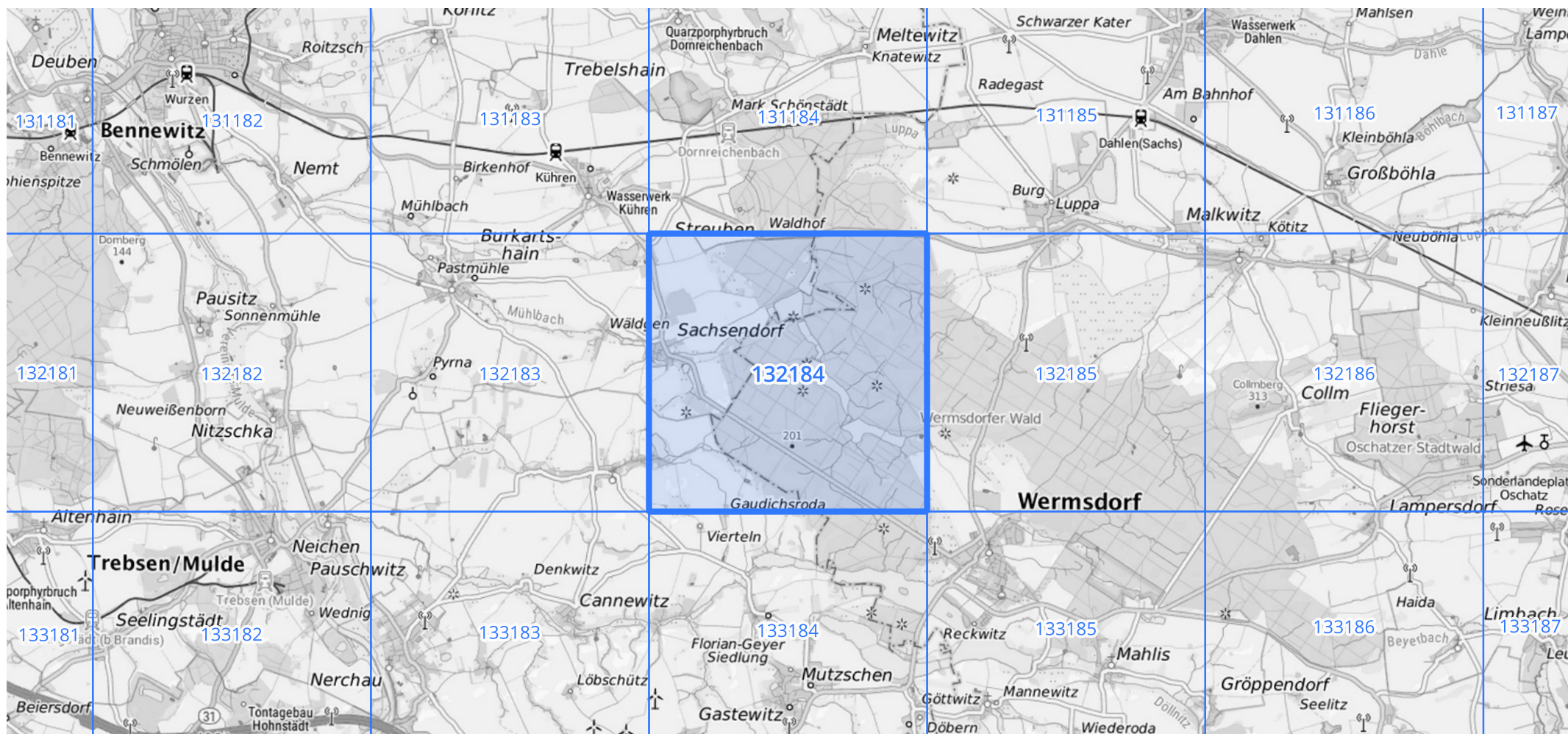
Siehe auch Anwendungshilfe zu KOSTRA-DWD-2020 des Deutschen Wetterdienstes.

Starkniederschlagshöhen und -spenden gemäß KOSTRA-DWD-2020

Rasterfeld 132184

(Zeile 132, Spalte 184)

Übersichtskarte des Rasterfeldes 132184, M 1 : 100 000



Quelle Rasterdaten: KOSTRA-DWD-2020 des Deutschen Wetterdienstes, Stand 12/2022.

Seite 3 von 3

Kartendarstellung: © Bundesamt für Kartographie und Geodäsie (2023), Datenquellen: https://sgx.geodatenzentrum.de/web_public/gdz/datenquellen/Datenquellen_TopPlusOpen.html

Für die Richtigkeit und Aktualität der Angaben wird keine Gewähr übernommen. Erstellt 01/2023.